

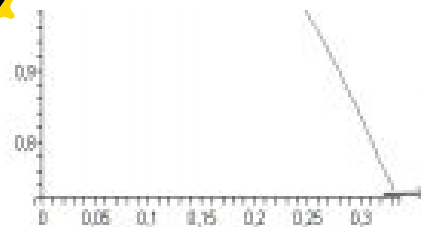


ФЕДЕРАЛЬНОЕ АГЕНТСТВО НАУЧНЫХ ОРГАНИЗАЦИЙ РОССИИ  
Федеральное государственное бюджетное научное учреждение  
«Прикаспийский научно-исследовательский институт  
аграрного земледелия»

Региональный Фонд  
«Аграрный университетский комплекс»

# СОВРЕМЕННЫЕ ТЕНДЕНЦИИ РАЗВИТИЯ АГРАРНОГО КОМПЛЕКСА

с. Соленое Займище – 2016



2-a-рис. Закономерности движения хлопковых семян в вертикальной направление с течением времени

- определено расстояние распределения семян на фракции их массе на двухсекционном сортировщике;
- получены графики закономерности движения семян, распределенных в виде несвязанных дискретных тел. Определены расстояния пролета массы семян по длине сортировочной камеры;

#### Использованная литература

1. Н.С.Сорокин."Аспирация машин и пневматический транспорт в текстильной промышленности. Москва-1970 г Стр. 5-10".
2. Х.Т.Ахмедходжасев, А.Турсунов «Пневматический сортировщик хлопковых семян» Хлопководство и зерноводство. Узбекский Республиканский научно технический журнал 2000 год номер-2. 30-32 стр.
3. Х.Т.Ахмедходжасев ,А.Турсунов" Движение хлопковых семян под действием горизонтальном воздушным потоком" международный научный конференция 2002год .22-23 стр.

УДК 631.363.

### ОПРЕДЕЛЕНИЕ ДЛИНЫ ОГРАНИЧИТЕЛЯ И УГЛА ЕГО УСТАНОВКИ ДОЗАТОРА ТРИБОЭЛЕКТРИЧЕСКОГО УСТРОЙСТВА

Алланиязов С.У. к.т.н., allaniyazov@inbox.uz

Нукусский филиал Ташкентского Государственного аграрного университета, г. Нукус, Республика Узбекистан

*Аннотация. В статьи приведены результаты теоретических исследований по определению длины ограничителя и угла его установки дозатора трибоэлектрического устройства.*

*Ключевые слова: семенной ворох люцерны, трибоэлектрическое сортировочное устройство, ограничитель, длина, угол, желобка дозирующего барабана*

Ширина выпускной щели загрузочного бункера зависит от физико-механических свойств семян люцерны, основными из которых являются размеры семян, плотность и угол внешнего трения. В результате проведенных теоретических исследований определено, ширина щели должен быть не менее 4,37 мм, т.е. намного превышает размер самих семян, что требует применения ограничителя. На выпускном отверстии загрузочного бункера трибоэлектрического устройства установлен ограничитель из металлической пластины (отрезок ВК), который под действием периодических ударов дозирующего барабана осуществляет колебательные движения между дозирующим барабаном и кожухом (дном бункера). Для равномерного распределения семенного вороха в желобках дозирующего барабана, очень важные значение имеют длина и угол установки ограничителя (Рис. 1.).

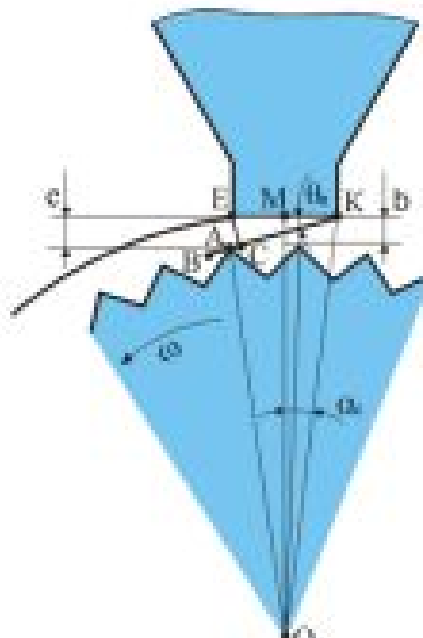


Рис.1. К определению длины ограничителя и угла его установки

$BK=L$  —длина ограничителя;  $\beta_t$  —угол установки ограничителя;  $L$ —длина отрезка  $AK$  в точке удара  $A$ ;  $\alpha_t$  —угол между ограничителем и горизонталью в момент времени  $t$ ;  $a$  —расстояние между кожухом (точка  $E$ ) и ограничителем (точка  $C$ );  $b$ —расстояние между дозирующим барабаном и выпускным отверстием бункера;  $\alpha_0$ —угол  $MOK$ ;  $\beta_i$  —угол  $AOM$  в момент времени  $t$ .

Таким образом, ограничитель то пропускает поток семенного вороха, то задерживает его.

Под действием колебательного движения семена люцерны стараются принять более устойчивое положение на желобках дозирующего барабана.

Угол  $AOM$  ( $\beta_i$ ) в момент времени  $t$  определяется по формуле:

$$\beta_i = \omega t, \quad (1)$$

а угол  $\alpha_0$  из формулы тангенсов:

$$\operatorname{tg} \alpha_0 = \frac{a/\sqrt{2}}{d/\sqrt{2} + b}, \quad (2)$$

где  $\beta_i$  — угол  $AOM$  в момент времени  $t$ , град;

$\omega$  — угловая скорость дозатора, м/с;

$b$  — расстояние между дозирующим барабаном и выпускным отверстием бункера, м;

Преобразование выражения (2) приведет к следующему виду:

$$\alpha_0 = \arctg \frac{a}{d + 2b}. \quad (3)$$

Полагая, что дифференциальное уравнение колебательного движения ограничителя аналогично дифференциальному уравнению математического маятника, можно записать:

$$\ddot{\theta}_i = -k_a \sin(\theta_i - \theta_0), \quad (4)$$

где  $k_a$ —коэффициент пропорциональности, характеризующий упругость материала ограничителя.

Так как, колебания ограничителя можно считать очень малыми, то разность углов

представим в виде  $\sin(\theta_i - \theta_0) \approx \theta_i - \theta_0$ , тогда дифференциальное уравнение примет следующий вид:

$$\ddot{\theta}_i = -k_s(\theta_i - \theta_0). \quad (5)$$

Решением дифференциального уравнения (5) являются функции:

$$\theta_i - \theta_0 = A \sin(kt + \alpha), \quad (6)$$

$$\dot{\theta}_i = -Ak \cos(kt + \alpha). \quad (7)$$

$$\ddot{\theta}_i = -Ak^2 \sin(kt + \alpha). \quad (8)$$

Сравнивая полученные выражения (5), (6) и (8) определим взаимосвязь коэффициента пропорциональности:

$$k = \sqrt{k_s}. \quad (9)$$

По теореме синусов для треугольника  $AOK$  в момент удара  $t = t_d$  имеем:

$$\frac{\sin(90^\circ - \theta_i - \alpha_0)}{d/2} = \frac{\sin(90^\circ - \beta_i + \theta_i)}{\sqrt{a^2 + b^2}}. \quad (10)$$

После преобразования, выражение (10) примет следующий вид:

$$\frac{\cos(\theta_i + \alpha_0)}{d} = \frac{\cos(\theta_i - \beta_i)}{\sqrt{a^2 + 2b^2 + a^2}}. \quad (11)$$

Полагая, что в момент удара при  $t = t_d$ , углы также равны, т.е.  $\theta_i = \theta_0$ , то выражение (11) можно представить в виде:

$$\frac{\cos(\theta_0 + \alpha_0)}{d} = \frac{\cos(\theta_0 - \omega t_d)}{\sqrt{a^2 + 2b^2 + a^2}}. \quad (12)$$

Отсюда, из выражения (12) находим значение времени в момент удара дозирующего барабана по ограничительной пластине:

$$t_d = \frac{1}{\omega} \left( \theta_0 - \arccos \frac{\cos(\theta_0 + \alpha_0) \sqrt{a^2 + 2b^2 + a^2}}{d} \right). \quad (13)$$

Полагая, что в момент удара  $t$ , значения углов аналогичны, т.е.  $\theta$ , то значение начальной фазы равно:

$$\theta_i - \theta_0 = A \sin(\sqrt{k_s} t + \alpha) = 0, \quad (14)$$

$$\alpha = -\sqrt{k_s} d_d. \quad (15)$$

Производная выражения (12) по времени  $t$  составляет:

$$\frac{-\dot{\theta}_i \sin(\theta_i + \alpha_0)}{d} = \frac{-(\dot{\theta}_i - \omega) \sin(\theta_i - \beta_i)}{\sqrt{a^2 + 2b^2 + a^2}}. \quad (16)$$

Из формулы (14), при  $I = I_s$  имеем:

$$\dot{\theta}_s = -A\sqrt{k_s}. \quad (17)$$

Подставив выражение (17) в формулу (16) получим:

$$\frac{A\sqrt{k_s} \sin(\theta_0 + \alpha_0)}{d} = \frac{(A\sqrt{k_s} + \omega) \sin(\theta_0 - \alpha\dot{\theta}_s)}{\sqrt{d^2 + 2b_s^2 + a^2}}. \quad (18)$$

Формула (18) иным образом определяет значение угловой амплитуды  $A$ . При этом, следует отметить, что угловая амплитуда не может быть положительными значениями, т. е.  $A < 0$ .

Таким образом, выражение для функции из формулы (6) полностью определено. Период колебаний определяется по известной формуле:

$$T = \frac{2\pi}{\sqrt{k_s}}. \quad (19)$$

Минимум функции (6) достигает при угле поворота равной 90 градусам:

$$kt + \alpha = (I - I_s)\sqrt{k_s} = \frac{\pi}{2}. \quad (20)$$

Момент времени, в течение которого происходит удар, определяется из выражения:

$$t = t_s + \frac{\pi}{2\sqrt{k_s}}. \quad (21)$$

В этот момент времени  $\theta_{min} = \theta_0 + A$ .

Следовательно, размер щели  $e$  между ограничителем и кожухом будет меняться в пределах:

$$a \sin(\theta_{min}) \leq e \leq a \sin(\theta_0). \quad (22)$$

Угол установки ограничителя следует выбирать таким образом, чтобы выполнялись следующие неравенства:

$$a \sin(\theta_{min}) \leq 2b_s. \quad (23)$$

$$2b_s \leq a \sin(\theta_0). \quad (24)$$

Выполнение условия неравенства означают, что колебательное движение ограничителя, подверженное периодическим ударами допатора, то задерживает поток семенного воздуха, то пропускает его.

Из выражения (24) находим значение угла установки ограничителя:

$$\theta_0 \geq \arcsin \frac{2b_s}{a}. \quad (25)$$

Вставив известные значения параметров,  $b_s = 0.7ii$  и  $a = 4.5ii$  входитящих в формулу (25), расчетным путем определим угол установки ограничителя:

$$\theta_0 \geq 18^\circ 13'.$$

Следовательно, для определения других параметров, значение угла установки ограничителя принимаем равным 19 градусам.

Очередной удар допатора по ограничителю проходит через промежуток времени рав-

ный:

$$\tau = \frac{2\pi}{\omega}, \quad (26)$$

где  $\Pi$  – количество желобков в дозирующим барабане;  
 $Z$  – количество желобков пропускаемых между ударами.

В моменты времени  $t_s$  и  $t_s + \tau$  значение угла  $\theta_i$  должны быть одинаковыми с точностью до  $\pi$ .

Поэтому

$$\theta_0 = \theta_0 + A \sin(\sqrt{k_s} (t_s + \tau - t_s)) = \theta_0 + A \sin(\tau \sqrt{k_s}). \quad (27)$$

Отсюда:

$$\tau \sqrt{k_s} = \pi. \quad (28)$$

Подставляя значение  $\tau$  из выражения (26) в формулу (28) получим:

$$\sqrt{k_s} \frac{2\pi}{\omega} = \pi. \quad (29)$$

Найдем натуральное значение  $Z$ , удовлетворяющее равенству (29):

$$Z = \frac{\omega}{2\sqrt{k_s}}. \quad (30)$$

Следует заметить, что данное равенство значение  $Z$  определяет приблизительно. В свою очередь количество желобков в дозировочном барабане равно:

$$\Pi = \frac{2\pi}{2 \arcsin \frac{i/2}{d/2}} = \frac{\pi}{\arcsin \frac{i}{d}}. \quad (31)$$

Необходимо отметить, что,  $\Pi$  как и  $Z$  – натуральное число. Это означает, что полученное число после подсчета надо округлить до целого числа.

По теореме синусов для треугольника  $AOK$  в момент удара  $t = t_s$  выражение угла поворота примет вид:

$$\frac{\sin(90^\circ - \theta_i - \alpha_0)}{d/2} = \frac{\sin(\beta_i + \alpha_0)}{l}, \quad (32)$$

или

$$\frac{\sin(90^\circ - \theta_0 - \alpha_0)}{d/2} = \frac{\sin(\omega t_s + \alpha_0)}{l}. \quad (33)$$

После преобразования, выражение (33) примет следующий вид:

$$l = \frac{d \sin(\omega t_s + \alpha_0)}{2 \cos(\theta_0 + \alpha_0)}. \quad (34)$$

Длина ограничителя  $l_0$  должна быть чуть-чуть больше значения  $l$  длины отрезка  $AK$  в точке удара  $A$  т.е.:

$$l_0 > \frac{d \sin(\omega t_s + \alpha_0)}{2 \cos(\theta_0 + \alpha_0)}. \quad (35)$$

Отсюда, при известных значениях параметров  $d = 120 \text{ mm}$ ;  $\omega = 5,236 \text{ рад/с}$ ;  $t_s = 0,0096 \text{ с}$ ;  $\alpha_0 = 2^\circ$ ;  $\theta_0 = 19^\circ$ , входящих в формулу (35), длина ограничителя должна быть больше 4,58 мм, т.е.,

$$l > 4,58 \text{ mm}.$$

Результаты проведенных теоретических исследований показывают что, для обеспечения однослоиного и равномерного подачи семян люцерны на поверхность рабочего органа сортировочного устройства, угол установки ограничителя должен быть  $\theta_0 \geq 18^\circ 13'$ , длина ограничителя  $l > 4,58 \text{ mm}$ .

УДК 631.311.86

## РЕЗУЛЬТАТЫ ГОСУДАРСТВЕННЫХ ПРИЕМОЧНЫХ ИСПЫТАНИЙ СЛЕДОРЫХЛИТЕЛЯ ИЮ-2 В УЗГЦИТТ

Кайнов М.У., к.т.н., Nupibaev.b@yandex.ru

Нукусский филиал Ташкентского Государственного Аграрного Университета,  
г. Нукус, Республики Каракалпакстан

**Аннотация.** В статье приведены результаты государственных приемочных испытаний опытного образца следорыхлителя, скобождущего рабочими органами с рекомендованными параметрами в УзГЦИТТ. Протздешевые и приемочные испытания показали, что разработанный опытный образец следорыхлителя с рациональными параметрами в агрегате с машинами и орудиями для предпосевной обработки почвы (боронковый агрегат «Бравиль» и др.) удовлетворительно выполняет технологический процесс, показав его работы соотвествующим требованиям земельщиков. На основании проведенного испытания УзГЦИТТ рекомендован изготовить опытную партию следорыхлителей ИЮ-2, для широкой хозяйственной проверки в различных зонах Республики Узбекистана.

**Ключевые слова:** незадинамическое движение трактора, плотность, выдергивание почвы, параметры рабочих органов, качество крошения почвы, тяжелое сопротивление рабочего органа, урожай хлопчатника.

В Узбекском научно-исследовательском институте механизации и электрификации сельского хозяйства (УзМЭИ) и Каракалпакском научно-исследовательском институте земледелия им. Ш. Мусаева (ККНИИЗ) проведены полевые опыты для изучения влияния на физико-механические свойства почвы движителей трактора «Магнум-8940» фирмы «Кейс» (США), который в Республике в настоящее время используется как основное энергетическое средство на вспашке и предпосевных работах (ранневесенне боронование, предпосевное чистопашение, выравнивание поверхности поля). Опыты проводились на полях экспериментального хозяйства ККНИИЗа в ранневесенний период по весновспашке, после промывных поливов.

Результаты опытов свидетельствуют о негативном воздействии движителей трактора «Магнум-8940» на почву в зоне засоленных земель, к которым относятся их большинство в Республике Каракалпакстан, где применяют промывные поливы.

## Глава 9. МЕХАНИЗАЦИЯ И ЭЛЕКТРИФИКАЦИЯ СЕЛЬСКОГО ХОЗЯЙСТВА

Очилдинев О.Ш. ИССЛЕДОВАНИЕ ПО АДАПТАЦИИ ЗЕРНОУБОРОЧНЫХ КОМБАЙНОВ ПРИ РАЗЛИЧНЫХ УСЛОВИЯХ УБОРКИ	1157
Завалюев В. Э., Шепелев А. Е. АНАЛИЗ ПРИБОРНОГО ОБЕСПЕЧЕНИЯ АВТОМАТИЗИРОВАННОГО УПРАВЛЕНИЯ И ПОЛИВА ДОЖДЕВАЛЬНЫМИ МАШИНАМИ ЗАРУБЕЖНЫХ ПРОИЗВОДИТЕЛЕЙ	1161
Ибрагимов М.И., Таджисбекова И.Э. ВЫБОР ЗАЩИТЫ ЭЛЕКТРОДВИГАТЕЛЕЙ НА МЕЛНОРАТИВНЫХ НАСОСНЫХ СТАНЦИЯХ	1166
Хусанов К.Б., Халиков А.М., Боротов А.Н. МАТЕМАТИЧЕСКОЕ МОДЕЛИРОВАНИЕ РЕКУПЕРАЦИИ ЭНЕРГИИ ПОТОКА РАБОЧЕЙ ЖИДКОСТИ В ЭЛЕМЕНТАХ ГИДРОПРИВОДА ТЕХНОЛОГИЧЕСКИХ МАШИН	1169
Халиков А.М., Боротов А.Н. К ВЫБОРУ ЭКОНОМИЧНОГО СПОСОБА ТРАНСПОРТИРОВАНИЯ МНОГОФАЗНЫХ СМЕСЕЙ	1172
Давыдова С.А., Бессталова О.Н., Чаплыгин М.Е. ТЕХНИЧЕСКОЕ ОБЕСПЕЧЕНИЕ УБОРКИ ТРОСТНИКА ЮЖНОГО НА КОРМ КРУПНОМУ РОГАТОМУ СКОТУ	1177
Уранова В.В., Багирян Б.Л., Фадеева М.В. ТЕХНИЧЕСКАЯ ОСНАЩЕННОСТЬ И СОСТОЯНИЕ МАШИНО-ТРАКТОРНОГО ПАРКА В СТРУКТУРЕ АПК РОССИИ	1182
Садыров А.Н. КОРМОВАЯ БАЗА АРИДНОГО ЖИВОТНОВОДСТВА, СОСТОЯНИЕ МЕХАНИЗАЦИИ, ЗАДЕЛЫ	1184
Тажибоев А.А. СНИЖЕНИЕ ПОТЕРЬ СЕМЯН ЛЮЦЕРНЫ ПУТЕМ УСОВЕРШЕНСТВОВАНИЯ ПАРАМЕТРОВ СЕПАРАТОРА	1190
Ауезов О.П., Утенбергенов Б.К., Рамазанов Б.Н. ВОДОСБЕРГАЮЩАЯ ТЕХНОЛОГИЯ ВЫРАЩИВАНИЯ ХЛОПКА	1192
Абдулхаккоров З., Рахимов Я. ТЕОРИЯ ПОВЕРХНОСТНОЙ ДИФФУЗИИ И ЕЁ ВЛИЯНИЕ НА СВОЙСТВА РАБОЧИХ ПОВЕРХНОСТЕЙ ДЕТАЛЕЙ МАШИН	1196
Рахимов Я., Абдулхаккоров З. ПОВЕРХНОСТНАЯ ДИФФУЗИЯ И ЕЁ ВЛИЯНИЕ НА СВОЙСТВА РАБОЧИХ ПОВЕРХНОСТЕЙ ДЕТАЛЕЙ МАШИН	1199
Каримов Ф.У. СРАВНИТЕЛЬНОЕ ИССЛЕДОВАНИЕ РАЗЛИЧНЫХ ТЕХНОЛОГИЧЕСКИХ СХЕМ РАБОТЫ И ДРОБИЛКИ-ИЗМЕЛЬЧИТЕЛЯ	1202
Ахмедхаджасов Х.Г., Каримов А.И., Турсунов А. ИССЛЕДОВАНИЕ ДВИЖЕНИЯ ХЛОПКОВЫХ СЕМЯН В ДВУХ КАМЕРНОМ СОРТИРОВЩИКЕ, ПОД ДЕЙСТВИЕМ ГОРИЗОНТАЛЬНОГО ВОЗДУШНОГО ПОТОКА	1205
Алманиязов С.У. ОПРЕДЕЛЕНИЕ ДЛИНЫ ОГРАНИЧИТЕЛЯ И УГЛА ЕГО УСТАНОВКИ ДОЗАТОРА ТРИБОЭЛЕКТРИЧЕСКОГО УСТРОЙСТВА	1209